

УДК 539.375:629.7.02

РАСЧЕТНО-ЭКСПЕРИМЕНТАЛЬНЫЙ МЕТОД ОПРЕДЕЛЕНИЯ ПАРАМЕТРОВ РАЗРУШЕНИЯ КОНСТРУКЦИЙ С ТРЕЩИНАМИ

В. Н. Максименко, А. В. Тягний

Новосибирский государственный технический университет, 630092 Новосибирск

Предлагаются расчетно-экспериментальные методы оценки коэффициентов интенсивности напряжений первого и второго рода, определения напряжений, действовавших на месте трещины до ее появления, и положений вершин трещины. Исходными данными служат экспериментально определенные скачки (разрывы) смещений в нескольких точках на берегах трещины. Методы основаны на интегральных представлениях решения задачи упругого равновесия анизотропных пластин с криволинейным разрезом. Приведены численные примеры, подтверждающие эффективность методов.

Ключевые слова: анизотропная пластина, трещина, скачок смещений, коэффициент интенсивности напряжений.

Для оценки коэффициентов интенсивности напряжений (КИН) в вершинах трещины и определения значений напряжений в конструкции на месте трещины до ее появления достаточно широко используются методы, основанные на замере в эксперименте величины раскрытия берегов трещины в нескольких точках [1–4]. Эти методы применимы только к расчетам для изотропных материалов и конструкций простейшей геометрии (прямолинейная трещина).

В настоящей работе на основе интегральных представлений решений задач теории трещин предлагается общий метод расчетной оценки КИН первого и второго рода в вершинах криволинейной трещины и напряжений на месте трещины до ее появления, а также метод определения положений вершин трещин в сложных листовых элементах конструкций из металлических и композитных (анизотропных) материалов по экспериментально найденным в нескольких точках скачкам смещений (раскрытиям) на берегах трещины.

1. Расчет коэффициентов интенсивности напряжений. Рассмотрим нагруженный системой произвольных внешних усилий (P_1, P_2, \dots, P_j) плоский конструктивный элемент из упругого прямолинейно-анизотропного (в частности, изотропного) материала с повреждением типа сквозной внутренней или краевой трещины L (рис. 1). К пластине посредством заклепок и (или) клея, передающих усилия сдвига, могут быть присоединены подкрепляющие элементы. Будем считать, что берега трещины свободны от внешних усилий и не взаимодействуют друг с другом, а в пластине реализуется плоское напряженное состояние. По известным значениям скачков смещений на берегах разреза $G(t) = (u^+ - u^-) + i(v^+ - v^-) = g_1(t) + ig_2(t)$ требуется определить КИН.

Согласно [5] напряжения и перемещения в пластине (исключая перемещения как жесткого целого) в произвольной точке $z = x + iy$ выражаются через аналитические функции $\Phi_\nu(z_\nu)$, $\varphi_\nu(z_\nu)$ ($\nu = 1, 2$):

$$(\sigma_x, \tau_{xy}, \sigma_y) = 2 \operatorname{Re} \left\{ \sum_{\nu=1}^2 (\mu_\nu^2, -\mu_\nu, 1) \Phi_\nu(z_\nu) \right\},$$

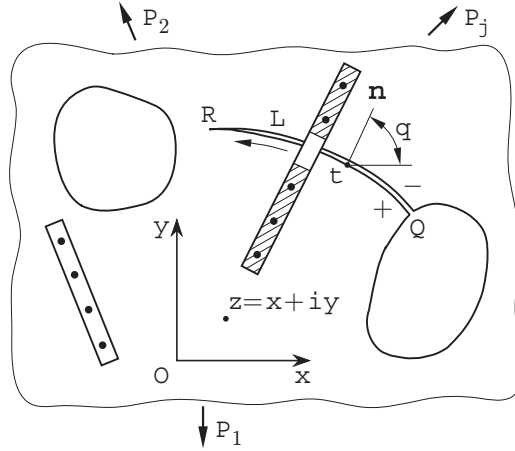


Рис. 1

$$(u, v) = 2 \operatorname{Re} \left\{ \sum_{\nu=1}^2 (p_{\nu}, q_{\nu}) \varphi_{\nu}(z_{\nu}) \right\}, \quad \frac{d\varphi_{\nu}(z_{\nu})}{dz_{\nu}} = \Phi_{\nu}(z_{\nu}), \quad (1.1)$$

где $z_{\nu} = x + \mu_{\nu}y$; μ_{ν} — корни соответствующего характеристического уравнения с положительными мнимыми частями; p_{ν}, q_{ν} — константы материала пластины.

Следуя [6], функции $\Phi_{\nu}(z_{\nu})$ запишем в виде

$$\Phi_{\nu}(z_{\nu}) = \Phi_{\nu 0}(z_{\nu}) + \Phi_{\nu 1}(z_{\nu}); \quad (1.2)$$

$$\Phi_{\nu 1}(z_{\nu}) = \frac{1}{2\pi i} \int_L \frac{\omega_{\nu}(\tau) d\tau_{\nu}}{\tau_{\nu} - z_{\nu}}, \quad \omega_2(t) = -a(t)\omega_1(t) - b(t)\overline{\omega_1(t)}, \quad (1.3)$$

где

$$a(t) = \frac{\mu_1 - \bar{\mu}_2}{\mu_2 - \bar{\mu}_2} \frac{M_1(t)}{M_2(t)}; \quad b(t) = \frac{\bar{\mu}_1 - \bar{\mu}_2}{\mu_2 - \bar{\mu}_2} \frac{\overline{M_1(t)}}{M_2(t)}; \quad M_{\nu}(t) = \mu_{\nu} \cos \psi - \sin \psi; \quad t, \tau \in L.$$

Функции $\Phi_{\nu 0}(z_{\nu})$ определяют основное напряженное состояние в пластине без трещины, $\Phi_{\nu 1}(z_{\nu})$ — возмущенное состояние из-за наличия трещины L ; $\psi(t)$ — угол между нормалью $\mathbf{n}(t)$ к левому берегу трещины в точке $t = x_t + iy_t$ и осью Ox (рис. 1); $\omega_{\nu}(t)$ — функции, имеющие особенности типа квадратного корня на внутренних (не выходящих на край пластины или отверстия) концах трещины L [7]; $\tau = x_{\tau} + iy_{\tau}$; $\tau_{\nu} = x_{\tau} + \mu_{\nu}y_{\tau}$.

Используя соотношения (1.1)–(1.3), скачок смещений $G(t)$ можно представить в виде

$$G(t) = \sum_{\nu=1}^2 \left\{ (p_{\nu} + iq_{\nu}) \int_R^t \omega_{\nu}(\tau) d\tau_{\nu} + (\bar{p}_{\nu} + i\bar{q}_{\nu}) \int_R^t \overline{\omega_{\nu}(\tau)} d\bar{\tau}_{\nu} \right\}.$$

Дифференцируя последнее выражение по длине трещины s , получим соотношения для определения $\omega_1(t)$ через производные от g_1, g_2

$$\omega_1(t) = \frac{W(t)[A(t) - a(t)] - \overline{W(t)}[B(t) - b(t)]}{|A(t) - a(t)|^2 - |B(t) - b(t)|^2}, \quad (1.4)$$

где

$$W(t) = \frac{\bar{p}_2 dg_2/ds - \bar{q}_2 dg_1/ds}{(\bar{p}_2 q_2 - p_2 \bar{q}_2) M_2(t)}; \quad A(t) = \frac{\bar{p}_2 q_1 - p_1 \bar{q}_2}{\bar{p}_2 q_2 - p_2 \bar{q}_2} \frac{M_1(t)}{M_2(t)}; \quad B(t) = \frac{\bar{p}_2 \bar{q}_1 - \bar{p}_1 \bar{q}_2}{\bar{p}_2 q_2 - p_2 \bar{q}_2} \frac{\overline{M_1(t)}}{M_2(t)}.$$

Введем параметрическое уравнение контура L : $t = t(\alpha)$, $\tau = t(\beta)$, причем для внутренней трещины $-1 \leq \alpha \leq 1$, $-1 \leq \beta \leq 1$, $Q = t(-1)$, $R = t(+1)$, для краевой трещины $0 \leq \alpha \leq 1$, $0 \leq \beta \leq 1$, $Q = t(0)$, $R = t(+1)$. В этом случае функцию $\omega_1(t)$ можно представить в виде $\omega_1(t) = \omega_1[t(\alpha)] = \chi(\alpha)/(1 - \alpha^2)^{1/2}$, где $\chi(\alpha)$ — функция класса H в окрестности точек $\alpha = \pm 1$ для внутренней трещины и в окрестности точки $\alpha = +1$ для краевой трещины [7].

Для напряжений в окрестности вершин трещины $c = t(\mp 1)$ (для краевой трещины $c = t(+1)$) получим на основании результатов работы [6] асимптотические формулы

$$\lim_{r \rightarrow 0} \sqrt{2r}(\sigma_x, \tau_{xy}, \sigma_y) = \operatorname{Re} \left\{ \sqrt{\pm \frac{ds}{d\alpha} \Big|_{\alpha=\mp 1}} \sum_{\nu=1}^2 (\mu_\nu^2, -\mu_\nu, 1) C_\nu(\vartheta) \right\},$$

$$C_\nu(\vartheta) = \Lambda_\nu \sqrt{M_\nu(c)/(\cos \vartheta + \mu_\nu \sin \vartheta)}, \quad \Lambda_1 = \chi(\mp 1),$$

$$\Lambda_2 = -a(c)\Lambda_1 - b(c)\bar{\Lambda}_1, \quad s = s(\alpha), \quad r = |z - c|, \quad \vartheta = \operatorname{Arg} |z - c|$$

и значения КИН отрыва K_1 и сдвига K_2 [8].

2. Определение напряжений на месте трещины. Для рассматриваемой пластины с трещиной представим потенциалы $\Phi_\nu(z_\nu)$ в виде

$$\Phi_\nu(z_\nu) = \sum_{j=0}^2 \Phi_{\nu j}^*(z_\nu). \quad (2.1)$$

Здесь $\Phi_{\nu 1}^*(z_\nu) = \Phi_{\nu 1}(z_\nu)$, а потенциалы $\Phi_\nu^*(z_\nu) = \Phi_{\nu 1}^*(z_\nu) + \Phi_{\nu 2}^*(z_\nu)$ удовлетворяют следующему условию: приложенные к телу внешние нагрузки равны нулю везде, кроме берегов трещины L . Тогда в силу принципа суперпозиции потенциалы $\Phi_{\nu 0}^*(z_\nu)$ определяют напряжения в неповрежденной пластине, в том числе на месте трещины.

Краевые условия на L имеют вид [6]

$$a(t)\Phi_1^\pm(t_1) + b(t)\overline{\Phi_1^\pm(t_1)} + \Phi_2^\pm(t_2) = 0, \quad t_\nu = x_t + \mu_\nu y_t, \quad \nu = 1, 2. \quad (2.2)$$

С учетом свойств потенциалов $\Phi_{\nu 0}^*(z_\nu)$ из (1.3), (2.1), (2.2) следует

$$X_n^*(t) + \bar{\mu}_2 Y_n^*(t) = (\bar{\mu}_2 - \mu_2) M_2(t) [a(t)\Phi_1^*(t_1) + b(t)\overline{\Phi_1^*(t_1)} + \Phi_2^*(t_2)], \quad (2.3)$$

где $X_n^*(t) ds$, $Y_n^*(t) ds$ — проекции усилий, действующих на элемент дуги ds контура L в пластине без трещины.

Для трех частных случаев сформулированной выше задачи (трещина в бесконечной пластине, в полуплоскости, в бесконечной пластине с эллиптическим отверстием) можно указать явный вид функций $\Phi_\nu^*(z_\nu)$.

Если поврежденный элемент представляет собой бесконечную пластину с трещиной L , то $\Phi_{\nu 2}^*(z_\nu) = 0$. Для прямолинейной трещины $L = \{|x| < a, y = \text{const}\}$ с учетом (1.3) выражение для напряжений σ_y^* , τ_{xy}^* на месте трещины, действовавших до ее появления, записывается следующим образом:

$$\tau_{xy}^*(x) + \bar{\mu}_2 \sigma_y^*(x) = \frac{\bar{\mu}_2 - \bar{\mu}_1}{\pi i} \int_{-a}^a \frac{\omega_1(\tau) d\tau}{\tau - x}.$$

Для трещины L (внутренней или краевой), расположенной вблизи края полуплоскости $D = \{x > 0\}$, функции $\Phi_{\nu 2}^*(z_\nu)$ следует взять в виде [6]

$$\Phi_{\nu 2}^*(z_\nu) = \frac{1}{2\pi i} \int_L \left\{ \frac{l_\nu s_\nu \overline{\omega_1(\tau)} d\bar{\tau}_1}{s_\nu z_\nu - \bar{\tau}_1} + \frac{\overline{n_\nu m_\nu \omega_2(\tau)} d\bar{\tau}_2}{m_\nu z_\nu - \bar{\tau}_2} \right\}, \quad (2.4)$$

где

$$l_\nu = \frac{\mu_{3-\nu} - \bar{\mu}_1}{\mu_\nu - \mu_{3-\nu}}; \quad n_\nu = \frac{\mu_{3-\nu} - \bar{\mu}_2}{\mu_\nu - \mu_{3-\nu}}; \quad s_\nu = \frac{\bar{\mu}_1}{\mu_\nu}; \quad m_\nu = \frac{\bar{\mu}_2}{\mu_\nu} \quad (\nu = 1, 2).$$

Если трещина L находится в бесконечной пластине около эллиптического отверстия $\Omega = \{(x/a)^2 + (y/b)^2 = 1\}$ или выходит на его край, то выражения для $\Phi_\nu^*(z_\nu)$ имеют вид [9]

$$\Phi_\nu^*(z_\nu) = \frac{d\zeta_\nu/dz_\nu}{2\pi i} \int_L \left\{ \frac{\omega_\nu(\tau) d\tau_\nu}{\zeta_\nu - \eta_\nu} + \frac{\overline{l_\nu \omega_1(\tau)} d\bar{\tau}_1}{\zeta_\nu(\zeta_\nu \bar{\eta}_1 - 1)} + \frac{\overline{n_\nu \omega_2(\tau)} d\bar{\tau}_2}{\zeta_\nu(\zeta_\nu \bar{\eta}_2 - 1)} \right\}, \quad (2.5)$$

где

$$\zeta_\nu = \zeta_\nu(z_\nu) = (z_\nu + \sqrt{z_\nu^2 - (a^2 + \mu_\nu^2 b^2)}) / (a - i\mu_\nu b); \quad \eta_\nu = \zeta_\nu(\tau_\nu) \quad (\nu = 1, 2).$$

Потенциалы $\Phi_\nu^*(z_\nu)$, определенные согласно (2.4), (2.5), автоматически удовлетворяют нулевым краевым условиям для напряжений на крае полуплоскости или контуре эллиптического отверстия и на бесконечности.

3. Численный алгоритм. Предположим, что заданы значения скачков смещений берегов трещины $g_{1p} = (u^+ - u^-)_p$ и $g_{2p} = (v^+ - v^-)_p$ в произвольных N_1 и N_2 точках $t_{1p} = t(\alpha_{1p})$ и $t_{2p} = t(\alpha_{2p})$ соответственно ($p = 1, \dots, N_j; j = 1, 2$). Используя характер поведения функции $\omega_1(t)$, с учетом соотношений (1.4) аппроксимируем функцию скачков смещений $G(t)$ в виде суммы ряда по функциям Чебышева второго рода $U_k(\alpha) = \sin(k \arccos \alpha)$ [10]

$$G(t) = G[t(\alpha)] = \sum_{k=1}^{M_1} b_{1k} U_k(\alpha) + i \sum_{k=1}^{M_2} b_{2k} U_k(\alpha), \quad (3.1)$$

где b_{1k} ($k = 1, \dots, M_1$), b_{2k} ($k = 1, \dots, M_2$) — неизвестные постоянные, которые определим методом наименьших квадратов [10]. Минимизация функционала

$$S = \sum_{j=1}^2 S_j, \quad S_j = S_j(M_j) = \sum_{p=1}^{N_j} \left[\sum_{k=1}^{M_j} b_{jk} U_k(\alpha_{jp}) - g_{jp} \right]^2 \quad (3.2)$$

приводит к двум системам линейных алгебраических уравнений для определения неизвестных коэффициентов ряда (3.1):

$$\frac{\partial S}{\partial b_{jl}} = 2 \sum_{p=1}^{N_j} \left[\sum_{k=1}^{M_j} b_{jk} U_k(\alpha_{jp}) - g_{jp} \right] U_l(\alpha_{jp}) = 0 \quad (l = 1, \dots, M_j; j = 1, 2). \quad (3.3)$$

Оценка оптимальных значений M_1, M_2 при конечном количестве точек N_1, N_2 с доверительной вероятностью q может быть получена из условия, что критерий

$$J(M_j) = \frac{S_j(M_j)}{1 - \sqrt{\{M_j[\ln(N_j/M_j) + 1] - \ln(1-q)\}/N_j}} \quad (j = 1, 2)$$

достигает наименьшего положительного значения [11]. Здесь $S_j(M_j)$ вычисляются по формуле (3.2) при найденных из (3.3) коэффициентах b_{jk} .

Производные от скачков смещений dg_j/ds в (1.4) выражаются через функции Чебышева первого рода $T_k(\alpha) = \cos(k \arccos \alpha)$ [10]

$$\frac{dg_j}{ds} = \frac{dg_j}{d\alpha} \frac{d\alpha}{ds} = -\frac{1}{\sqrt{1-\alpha^2}} \sum_{k=1}^{M_j} k b_{jk} T_k(\alpha) \left(\frac{ds}{d\alpha} \right)^{-1} \quad (j = 1, 2).$$

При определении усилий по формулам (2.3) с учетом (1.3), (2.1), (2.4), (2.5) интегралы могут быть вычислены в узловых точках α_m с помощью квадратурных формул для сингулярных и регулярных интегралов [12]

$$\int_{-1}^1 \frac{V_1(\beta) d\beta}{\sqrt{1-\beta^2}(\beta-\alpha)} = \frac{\pi}{n} \sum_{k=1}^n \frac{V_1(\beta_k)}{\beta_k - \alpha_m}, \quad \int_{-1}^1 \frac{V_2(\alpha, \beta) d\beta}{\sqrt{1-\beta^2}} = \frac{\pi}{n} \sum_{k=1}^n V_2(\alpha, \beta_k), \quad (3.4)$$

где

$$\beta_k = \cos((2k-1)\pi/(2n)), \quad k = 1, \dots, n; \quad \alpha_m = \cos(\pi m/2), \quad m = 1, \dots, n-1.$$

Для краевых трещин интервал интегрирования $(0, 1)$ можно заменить на интервал $(-1, 1)$ при условии $V_1(\beta) = 0$, $V_2(\alpha, \beta) = 0$ для $\beta < 0$ и воспользоваться формулами (3.4) при четном n .

4. Определение положения трещины. Пусть внутренняя трещина прямолинейная и расположена вдоль оси Ox . Предположим, что координаты левой A и правой B вершин трещин точно не известны (например, изменились в результате роста трещины). Требуется по значениям скачков смещений $g_2 = v^+ - v^-$ в нескольких точках определить координаты A, B .

Аппроксимирующее выражение (3.1) в этом случае принимает вид

$$G(x) = ig_2(x) = i \sum_{k=1}^{M_2} b_{2k} \sin\left(k \arccos \frac{2x - B - A}{B - A}\right). \quad (4.1)$$

Для минимизации величины $S = S_2$ в (3.2) относительно неизвестных b_{2k}, B, A получаем систему нелинейных алгебраических уравнений из условий

$$\frac{\partial S_2}{\partial b_{2k}} = 0 \quad (k = 1, \dots, M_2), \quad \frac{\partial S_2}{\partial B} = 0, \quad \frac{\partial S_2}{\partial A} = 0. \quad (4.2)$$

В случае краевой трещины $L = \{0 < x < B, y = \text{const}\}$ для определения координаты B можно воспользоваться системой (4.2), исключив из нее последнее условие и полагая $A = -B$ в выражении (4.1).

5. Численный эксперимент. В качестве примеров, иллюстрирующих применение предлагаемых методов, были выбраны задачи, геометрия которых и способ приложения нагрузок показаны на рис. 2. Вычисления для изотропных пластин производились согласно теории ортотропных [5] при следующих данных: $E_x = E_y = E$, $\nu_{xy} = \nu_{yx} = 0,33$, $G_{xy} = G_{yx} = 0,999E/[2(1 + \nu_{xy})]$ (E_x, E_y — модули Юнга в главных направлениях Ox и Oy ; G_{xy}, G_{yx} — модули сдвига; ν_{xy}, ν_{yx} — коэффициенты Пуассона). Геометрические параметры подкрепленной панели (рис. 2, e) следующие: толщина изотропной пластины $0,01a$; площадь поперечного сечения подкрепляющих элементов $0,002a^2$; их модуль упругости E ; толщина клея $0,001a$; модуль сдвига клея $0,01E$; ширина склейки $0,1a$ (склейка частично нарушена около трещины (отслоение)); диаметр заклепок $0,04a$ (заклепки расположены с шагом $0,5a$).

Численный эксперимент проводился в два этапа. На первом этапе с использованием метода интегральных уравнений [6, 9, 13] или аналитических решений [5, 8] для всех задач были получены значения скачков смещений и коэффициентов интенсивности напряжений $K_{1,2}^0$. Для задач, показанных на рис. 2, б, в, д, также вычислялись напряжения на месте трещины $\sigma_y^{*0}(x), \tau_{xy}^{*0}(x)$. При численной реализации метода интегральных уравнений погрешность расчета не превышала 0,1 %. Значения скачков смещений определялись в одной-семи равномерно расположенных по длине трещины точках $\alpha_{jp} = [(2p-1)/N_j] - 1$

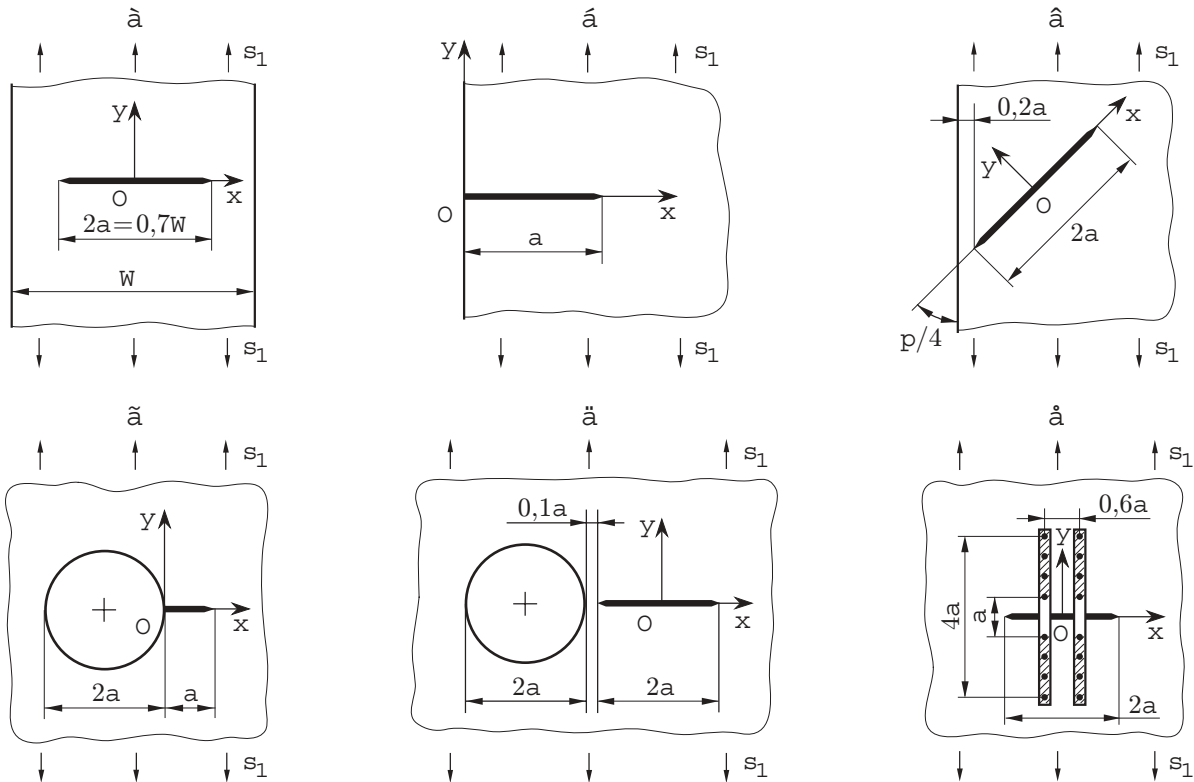


Рис. 2

(для внутренней трещины) или $\alpha_{jp} = (2p - 1)/(2N_j)$ (для краевой трещины), где $p = 1, \dots, N_j$; $N_j = 1, \dots, 5$; $M_j = N_j$; $j = 1, 2$. На втором этапе значения скачков смещений использовались в качестве исходных данных в изложенных выше методах вычисления КИН $K_{1,2}$, напряжений на линии трещины $\sigma_y^*(x)$, $\tau_{xy}^*(x)$ и определения положений вершин трещины.

В табл. 1 приведены значения относительной погрешности определения КИН первого и второго рода ($N = N_1 = N_2$)

$$\delta_{1,2}(\pm a) = \{[K_{1,2}(\pm a) - K_{1,2}^0(\pm a)]/K_{1,2}^0(\pm a)\} \cdot 100 \%,$$

в табл. 2 — нормальных и касательных напряжений

$$\delta(\sigma_y) = \max_{x \in L_1} |[\sigma_y^*(x) - \sigma_y^{*0}(x)]/\sigma_y^{*0}(x)| \cdot 100 \%,$$

$$\delta(\tau_{xy}) = \max_{x \in L_1} |[\tau_{xy}^*(x) - \tau_{xy}^{*0}(x)]/\tau_{xy}^{*0}(x)| \cdot 100 \%,$$

где $L_1 = \{-0,8 < x/a < 0,8\}$ для внутренней и $L_1 = \{0,1 < x/a < 0,9\}$ для краевой трещин.

Для случая, изображенного на рис. 2,б, проведено исследование сходимости результатов (по КИН и напряжениям) в зависимости от степени анизотропии материала. Расчеты выполнены при $E_x/E_y = 1/25, 1/5, 1, 5, 25$; $G_{xy} = G_{yx} = 0,999 \min(E_x, E_y)/[2(1 + \max(\nu_{xy}, \nu_{yx}))]$; $\max(\nu_{xy}, \nu_{yx}) = 0,33$; $\nu_{xy}/E_x = \nu_{yx}/E_y$. Приведенные результаты позволяют сделать вывод, что для достижения погрешности, не превышающей 3–4 %, при определении КИН $K_{1,2}$ и напряжений σ_y^* , τ_{xy}^* для рассмотренных типичных конструктивных элементов в широком диапазоне изменения степени анизотропии материала, как правило, достаточно двух–пяти точек измерений, что свидетельствует о хорошей сходимости метода.

Таблица 1

Относительная погрешность определения КИН первого и второго рода

Схема элемента на рис. 2	E_x/E_y	Погрешность	$N = 1$	$N = 2$	$N = 3$	$N = 4$	$N = 5$
<i>a</i>	1	$\delta_1(+a)$	-3,3	-2,5	0,2	0,1	0,1
<i>b</i>	1/25	$\delta_1(+a)$	3,3	-1,4	0,7	-0,3	0,3
	1/5	$\delta_1(+a)$	5,1	-2,0	0,8	-0,2	0,2
	1	$\delta_1(+a)$	8,1	-2,8	1,0	-0,4	-0,2
	5	$\delta_1(+a)$	5,4	-2,2	0,9	-0,2	0,1
	25	$\delta_1(+a)$	3,3	-1,5	0,6	-0,3	0,2
<i>в</i>	1	$\delta_1(-a)$	16,7	26,4	16,7	7,9	3,0
	1	$\delta_2(-a)$	-29,1	-12,3	-1,8	1,7	2,3
	1	$\delta_1(+a)$	13,9	1,0	-3,5	2,2	-1,2
	1	$\delta_2(+a)$	8,0	-8,6	3,7	-1,0	0,1
<i>г</i>	1	$\delta_1(+a)$	9,6	-3,1	1,0	-0,3	0,2
<i>д</i>	1	$\delta_1(-a)$	-36,2	-19,7	-9,9	-4,5	-1,6
	1	$\delta_1(+a)$	13,0	-7,5	4,3	-2,2	1,2
<i>e</i>	1	$\delta_1(+a)$	-20,7	-14,5	4,7	4,5	4,0

Таблица 2

Относительная погрешность определения нормальных и касательных напряжений

Схема элемента на рис. 2	E_x/E_y	Погрешность	$N = 1$	$N = 2$	$N = 3$	$N = 4$	$N = 5$
<i>b</i>	1/25	$\delta(\sigma_y)$	15,3	6,7	4,7	2,8	1,5
	1/5	$\delta(\sigma_y)$	28,1	9,3	4,3	1,4	0,7
	1	$\delta(\sigma_y)$	38,0	11,2	4,0	1,1	0,5
	5	$\delta(\sigma_y)$	29,3	9,6	4,2	1,5	0,8
	25	$\delta(\sigma_y)$	15,5	6,7	4,7	2,9	1,7
<i>в</i>	1	$\delta(\sigma_y)$	30,4	27,1	12,0	6,9	3,3
	1	$\delta(\tau_{xy})$	55,4	24,0	5,4	1,1	0,1
<i>д</i>	1	$\delta(\sigma_y)$	49,5	23,8	8,8	4,6	2,2

Таблица 3

Относительная погрешность определения координат вершин трещин

Схема элемента на рис. 2	Погрешность	$M_2 = 1$	$M_2 = 2$	$M_2 = 3$	$M_2 = 4$	$M_2 = 5$
<i>г</i>	$\delta(B)$	-0,8	4,1	-1,0	0,4	0,1
<i>д</i>	$\delta(A)$	34,0	14,0	6,0	2,6	1,2
	$\delta(B)$	-3,6	3,0	-1,4	1,0	-0,5

В табл. 3 приведены результаты определения положений вершин трещин методом, изложенным в п. 4. Погрешность определения координат вершин $\delta(A, B) = [| (A, B) / a | - 1] \times 100 \%$ вычислялась при $M_2 = 1, \dots, 5$; $N_2 = M_2 + 1$ для краевой трещины, $N_2 = M_2 + 2$ для внутренней (точки равномерно расположены по длине трещины). Для самого сложного случая (рис. 2, d , левая вершина трещины) погрешность $\delta(A)$ при $M_2 = 5$, $N_2 = 7$ не превышала 1,2 %.

Проведенные численные исследования позволяют рекомендовать использование предложенных методов для анализа напряженно-деформированного состояния поврежденной трещиной конструкции на основе экспериментальных данных.

ЛИТЕРАТУРА

1. **Городниченко В. И., Дементьев А. Д.** Определение коэффициентов интенсивности напряжений в вершине сквозной трещины по полям перемещений // Учен. зап. ЦАГИ. 1989. Т. 19, № 6. С. 82–93.
2. **Шкараев С. В.** Теоретико-экспериментальный метод определения коэффициентов интенсивности напряжений // Физ.-хим. механика материалов. 1989. № 4. С. 97–101.
3. **Шкараев С. В.** Метод определения параметров разрушения элементов конструкций с краевыми трещинами // Физ.-хим. механика материалов. 1992. № 6. С. 29–35.
4. **Torri T., Houda K., Fujibayashi T., Hamano T.** A method of evaluating crack opening stress distributions and stress intensity factors based on opening displacement along a crack // JASM Intern. J. Ser. I. 1990. V. 32, N 2. P. 47–54.
5. **Лехницкий С. Г.** Анизотропные пластинки. М.: Гостехтеоретиздат, 1957.
6. **Максименко В. Н.** Задача о трещине в анизотропной полуплоскости, подкрепленной упругими накладками // Динамика сплошной среды / АН СССР. Сиб. отд-ние. Ин-т гидродинамики. 1990. Вып. 99. С. 41–46.
7. **Гахов Ф. Д.** Краевые задачи. М.: Физматгиз, 1963.
8. **Механика разрушения и прочность материалов: Справ. пособие: В 4 т. / Под общ. ред. В. В. Панасюка.** Киев: Наук. думка, 1988. Т. 2.
9. **Максименко В. Н.** Предельное равновесие анизотропной пластины, ослабленной эллиптическим отверстием и системой трещин сложной формы // Учен. зап. ЦАГИ. 1987. Т. 18, № 3. С. 24–29.
10. **Березин И. С., Жидков Н. П.** Методы вычислений. М.: Наука, 1966. Т. 1.
11. **Вапник В. Н.** Алгоритмы и программы восстановления зависимостей. М.: Наука, 1984.
12. **Белоцерковский С. М., Лифанов И. К.** Численные методы в сингулярных интегральных уравнениях. М.: Наука, 1985.
13. **Максименко В. Н., Павшок В. Н.** К расчету анизотропной пластины с трещинами, усиленной клееклепанаными ребрами // ПМТФ. 1992. № 1. С. 133–140.

Поступила в редакцию 25/III 2003 г.